

# Starkniederschlagshöhen und -spenden gemäß KOSTRA-DWD-2020

## Rasterfeld 131161

(Zeile 131, Spalte 161)

### Regenspende und Bemessungsniederschlagswerte in Abhängigkeit von Wiederkehrzeit T und Dauerstufe D

| Dauerstufe D |     | Wiederkehrzeit T |            |      |            |      |            |      |            |      |            |       |            |       |            |       |            |       |            |
|--------------|-----|------------------|------------|------|------------|------|------------|------|------------|------|------------|-------|------------|-------|------------|-------|------------|-------|------------|
|              |     | 1 a              |            | 2 a  |            | 3 a  |            | 5 a  |            | 10 a |            | 20 a  |            | 30 a  |            | 50 a  |            | 100 a |            |
| min          | Std | mm               | l / (s ha) | mm   | l / (s ha) | mm   | l / (s ha) | mm   | l / (s ha) | mm   | l / (s ha) | mm    | l / (s ha) | mm    | l / (s ha) | mm    | l / (s ha) | mm    | l / (s ha) |
| 5            |     | 6,3              | 210,0      | 7,8  | 260,0      | 8,7  | 290,0      | 10,0 | 333,3      | 11,8 | 393,3      | 13,6  | 453,3      | 14,9  | 496,7      | 16,4  | 546,7      | 18,7  | 623,3      |
| 10           |     | 8,5              | 141,7      | 10,6 | 176,7      | 11,9 | 198,3      | 13,6 | 226,7      | 16,1 | 268,3      | 18,6  | 310,0      | 20,3  | 338,3      | 22,4  | 373,3      | 25,6  | 426,7      |
| 15           |     | 9,9              | 110,0      | 12,4 | 137,8      | 13,9 | 154,4      | 15,8 | 175,6      | 18,7 | 207,8      | 21,6  | 240,0      | 23,6  | 262,2      | 26,1  | 290,0      | 29,7  | 330,0      |
| 20           |     | 10,9             | 90,8       | 13,6 | 113,3      | 15,3 | 127,5      | 17,4 | 145,0      | 20,6 | 171,7      | 23,8  | 198,3      | 25,9  | 215,8      | 28,7  | 239,2      | 32,7  | 272,5      |
| 30           |     | 12,4             | 68,9       | 15,4 | 85,6       | 17,3 | 96,1       | 19,7 | 109,4      | 23,3 | 129,4      | 27,0  | 150,0      | 29,4  | 163,3      | 32,5  | 180,6      | 37,0  | 205,6      |
| 45           |     | 13,8             | 51,1       | 17,2 | 63,7       | 19,3 | 71,5       | 22,1 | 81,9       | 26,1 | 96,7       | 30,2  | 111,9      | 32,9  | 121,9      | 36,4  | 134,8      | 41,4  | 153,3      |
| 60           | 1   | 14,9             | 41,4       | 18,6 | 51,7       | 20,9 | 58,1       | 23,8 | 66,1       | 28,1 | 78,1       | 32,6  | 90,6       | 35,5  | 98,6       | 39,3  | 109,2      | 44,7  | 124,2      |
| 90           | 1,5 | 16,5             | 30,6       | 20,6 | 38,1       | 23,1 | 42,8       | 26,4 | 48,9       | 31,2 | 57,8       | 36,1  | 66,9       | 39,3  | 72,8       | 43,5  | 80,6       | 49,5  | 91,7       |
| 120          | 2   | 17,7             | 24,6       | 22,1 | 30,7       | 24,8 | 34,4       | 28,3 | 39,3       | 33,4 | 46,4       | 38,7  | 53,8       | 42,1  | 58,5       | 46,6  | 64,7       | 53,1  | 73,8       |
| 180          | 3   | 19,5             | 18,1       | 24,3 | 22,5       | 27,3 | 25,3       | 31,2 | 28,9       | 36,8 | 34,1       | 42,6  | 39,4       | 46,4  | 43,0       | 51,3  | 47,5       | 58,4  | 54,1       |
| 240          | 4   | 20,9             | 14,5       | 26,0 | 18,1       | 29,2 | 20,3       | 33,3 | 23,1       | 39,3 | 27,3       | 45,5  | 31,6       | 49,6  | 34,4       | 54,9  | 38,1       | 62,5  | 43,4       |
| 360          | 6   | 22,9             | 10,6       | 28,5 | 13,2       | 32,0 | 14,8       | 36,6 | 16,9       | 43,2 | 20,0       | 49,9  | 23,1       | 54,4  | 25,2       | 60,2  | 27,9       | 68,6  | 31,8       |
| 540          | 9   | 25,1             | 7,7        | 31,3 | 9,7        | 35,1 | 10,8       | 40,1 | 12,4       | 47,3 | 14,6       | 54,8  | 16,9       | 59,6  | 18,4       | 66,0  | 20,4       | 75,2  | 23,2       |
| 720          | 12  | 26,8             | 6,2        | 33,4 | 7,7        | 37,4 | 8,7        | 42,8 | 9,9        | 50,5 | 11,7       | 58,4  | 13,5       | 63,6  | 14,7       | 70,5  | 16,3       | 80,2  | 18,6       |
| 1080         | 18  | 29,3             | 4,5        | 36,5 | 5,6        | 41,0 | 6,3        | 46,9 | 7,2        | 55,3 | 8,5        | 64,0  | 9,9        | 69,7  | 10,8       | 77,2  | 11,9       | 87,9  | 13,6       |
| 1440         | 24  | 31,3             | 3,6        | 39,0 | 4,5        | 43,7 | 5,1        | 50,0 | 5,8        | 59,0 | 6,8        | 68,3  | 7,9        | 74,3  | 8,6        | 82,3  | 9,5        | 93,7  | 10,8       |
| 2880         | 48  | 36,5             | 2,1        | 45,5 | 2,6        | 51,0 | 3,0        | 58,3 | 3,4        | 68,8 | 4,0        | 79,7  | 4,6        | 86,8  | 5,0        | 96,1  | 5,6        | 109,4 | 6,3        |
| 4320         | 72  | 40,0             | 1,5        | 49,8 | 1,9        | 55,9 | 2,2        | 63,8 | 2,5        | 75,3 | 2,9        | 87,2  | 3,4        | 95,0  | 3,7        | 105,1 | 4,1        | 119,7 | 4,6        |
| 5760         | 96  | 42,6             | 1,2        | 53,1 | 1,5        | 59,5 | 1,7        | 68,1 | 2,0        | 80,3 | 2,3        | 92,9  | 2,7        | 101,2 | 2,9        | 112,1 | 3,2        | 127,6 | 3,7        |
| 7200         | 120 | 44,8             | 1,0        | 55,8 | 1,3        | 62,6 | 1,4        | 71,5 | 1,7        | 84,4 | 2,0        | 97,7  | 2,3        | 106,4 | 2,5        | 117,8 | 2,7        | 134,1 | 3,1        |
| 8640         | 144 | 46,6             | 0,9        | 58,1 | 1,1        | 65,2 | 1,3        | 74,5 | 1,4        | 87,9 | 1,7        | 101,7 | 2,0        | 110,8 | 2,1        | 122,6 | 2,4        | 139,6 | 2,7        |
| 10080        | 168 | 48,2             | 0,8        | 60,1 | 1,0        | 67,4 | 1,1        | 77,1 | 1,3        | 90,9 | 1,5        | 105,3 | 1,7        | 114,6 | 1,9        | 126,9 | 2,1        | 144,5 | 2,4        |

# Starkniederschlagshöhen und -spenden gemäß KOSTRA-DWD-2020

## Rasterfeld 131161

(Zeile 131, Spalte 161)

### Örtliche Unsicherheiten in Abhängigkeit von Wiederkehrzeit T und Dauerstufe D

| Dauerstufe D |     | Wiederkehrzeit T |     |     |     |      |      |      |      |       |
|--------------|-----|------------------|-----|-----|-----|------|------|------|------|-------|
|              |     | 1 a              | 2 a | 3 a | 5 a | 10 a | 20 a | 30 a | 50 a | 100 a |
| min          | Std | ± %              | ± % | ± % | ± % | ± %  | ± %  | ± %  | ± %  | ± %   |
| 5            |     | 12               | 11  | 11  | 11  | 11   | 11   | 11   | 11   | 12    |
| 10           |     | 9                | 10  | 11  | 11  | 12   | 13   | 14   | 14   | 15    |
| 15           |     | 10               | 12  | 13  | 14  | 15   | 16   | 16   | 17   | 18    |
| 20           |     | 12               | 14  | 15  | 16  | 17   | 18   | 18   | 19   | 19    |
| 30           |     | 13               | 16  | 17  | 18  | 19   | 20   | 20   | 21   | 21    |
| 45           |     | 14               | 17  | 18  | 19  | 20   | 21   | 21   | 22   | 23    |
| 60           | 1   | 15               | 17  | 18  | 19  | 20   | 21   | 22   | 22   | 23    |
| 90           | 1,5 | 15               | 17  | 18  | 19  | 21   | 22   | 22   | 23   | 23    |
| 120          | 2   | 15               | 17  | 18  | 19  | 21   | 21   | 22   | 23   | 23    |
| 180          | 3   | 14               | 17  | 18  | 19  | 20   | 21   | 22   | 22   | 23    |
| 240          | 4   | 14               | 16  | 17  | 18  | 20   | 21   | 21   | 22   | 22    |
| 360          | 6   | 13               | 16  | 17  | 18  | 19   | 20   | 20   | 21   | 22    |
| 540          | 9   | 13               | 15  | 16  | 17  | 18   | 19   | 20   | 20   | 21    |
| 720          | 12  | 12               | 14  | 15  | 16  | 18   | 18   | 19   | 19   | 20    |
| 1080         | 18  | 12               | 14  | 15  | 16  | 17   | 18   | 18   | 19   | 19    |
| 1440         | 24  | 11               | 13  | 14  | 15  | 16   | 17   | 18   | 18   | 19    |
| 2880         | 48  | 11               | 12  | 13  | 14  | 15   | 16   | 16   | 17   | 17    |
| 4320         | 72  | 11               | 12  | 13  | 14  | 15   | 15   | 16   | 16   | 17    |
| 5760         | 96  | 11               | 12  | 13  | 13  | 14   | 15   | 15   | 16   | 16    |
| 7200         | 120 | 11               | 12  | 12  | 13  | 14   | 15   | 15   | 15   | 16    |
| 8640         | 144 | 11               | 12  | 12  | 13  | 14   | 15   | 15   | 15   | 16    |
| 10080        | 168 | 12               | 12  | 13  | 13  | 14   | 14   | 15   | 15   | 16    |

### Parameter für abweichende T und D

#### Lokationsparameter $\xi$ (Xi)

15,49320106

#### Skalenparameter $\alpha$ (Alpha)

5,28594455

#### Formparameter $\kappa$ (Kappa)

-0,1

#### 1. Koutsoyiannis-Parameter $\theta$ (Theta)

0,04827296

#### 2. Koutsoyiannis-Parameter $\eta$ (Eta)

0,77812426

Parameter für dauerstufenübergreifende Extremwertschätzung nach KOUTSOYIANNIS et al. 1998.

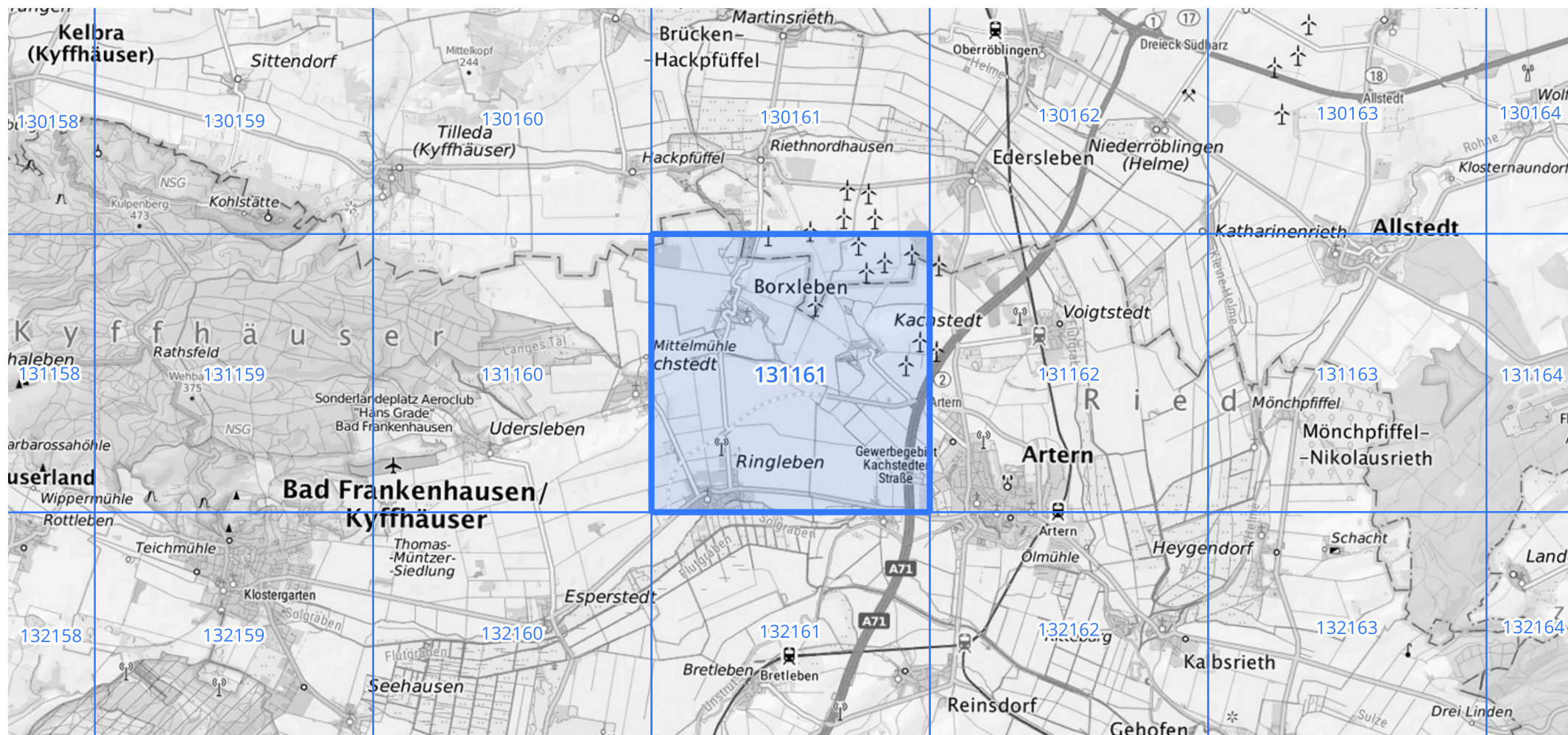
Siehe auch Anwendungshilfe zu KOSTRA-DWD-2020 des Deutschen Wetterdienstes.

# Starkniederschlagshöhen und -spenden gemäß KOSTRA-DWD-2020

## Rasterfeld 131161

(Zeile 131, Spalte 161)

Übersichtskarte des Rasterfeldes 131161, M 1 : 100 000



Quelle Rasterdaten: KOSTRA-DWD-2020 des Deutschen Wetterdienstes, Stand 12/2022.

Seite 3 von 3

Kartendarstellung: © Bundesamt für Kartographie und Geodäsie (2023), Datenquellen: [https://sgx.geodatenzentrum.de/web\\_public/gdz/datenquellen/Datenquellen\\_TopPlusOpen.html](https://sgx.geodatenzentrum.de/web_public/gdz/datenquellen/Datenquellen_TopPlusOpen.html)

Für die Richtigkeit und Aktualität der Angaben wird keine Gewähr übernommen. Erstellt 01/2023.